Hetran 11.1

Página 1

Archivo: condensador.BJT Fecha: 05/09/2007 Tiempo: 9:54:42

Description

Comentarios

Company: Location:

Service of Unit:

Item No.:

Date:

Rev No.:

Our Reference:

Your Reference:

Job No.:

Lado Caliente Lado frío

Nombre del fluido

Comentarios

Opciones de Aplicación

Fluído Caliente vaporización de multi-componentes

Curva de condensación especificado en la entrada

Tipo de condensador normal

Fluído Frío líquido sin cambio de fase
Curva de evaporación especificado en la entrada
Tipo de evaporador circulación forzada

Localización del fluido caliente lado carcasa Modo del programa diseño

Datos de proceso

Lado Caliente Lado frío Adentro Afuera Adentro Afuera Caudal del fluido, total kg/h 4233 178147 Cantidad de vapor kg/h Cantidad de líquido kg/h 4233 178147 178147 32,36 Temperatura С 40,17 145,18 25 Punto de condensación/Ebullición С Presión de operación (absoluta) kgf/cm2 15,857 15,857 6,118 Calor intercambiado kcal/h 1410469

Caída de presión admisible kgf/cm2
Resistencia de ensuciamiento m2*h*C/kcal

Opciones Balance Carga Térmica programa programa

Banco de datos

Lado caliente Use properties from the following:
Lado frío Use properties from the following:

Archivo de Aspen Plus or Aspen Properties

Composición lado caliente flujo per peso o % Composición lado frío flujo per peso o %

Lado Caliente - Componente

Componentes Fuente Vapor Líquido Líquido Tipo de entrando entrando saliendo componente

Lado Caliente - Propiedades líquido

Temperatura	Calor específico	Cond.térmica	Viscosidad	Densidad	Tensión superficial
С	kcal/(kg*C)	kcal/(h*m*C)	ср	kg/m3	dynes/cm
145,18	1,6765	0,194	0,035	388,87	0,4
40,18	1,2622	0,354	0,132	512,68	16,8
40,18	1,2621	0,354	0,132	512,69	16,8
40,18	1,2621	0,354	0,132	512,69	16,8
40,18	1,2621	0,354	0,132	512,69	16,8
40,18	1,2621	0,354	0,132	512,69	16,8
40,18	1,2621	0,354	0,132	512,69	16,8
40,18	1,2621	0,354	0,132	512,69	16,8
40,18	1,2621	0,354	0,132	512,69	16,8
40,18	1,2621	0,354	0,132	512,69	16,8
40,18	1,2621	0,354	0,132	512,69	16,8
40,18	1,2621	0,354	0,132	512,69	16,8
40,18	1,2621	0,354	0,132	512,69	16,8
40,18	1,2621	0,354	0,132	512,69	16,8
40,18	1,2621	0,354	0,132	512,69	16,8
40,18	1,2621	0,354	0,132	512,69	16,8
40,18	1,2621	0,354	0,132	512,69	16,8
40,18	1,2621	0,354	0,132	512,69	16,8
40,18	1,2621	0,354	0,132	512,69	16,8
40,18	1,2621	0,354	0,132	512,69	16,8
40,18	1,2621	0,354	0,132	512,69	16,8
40,18	1,2622	0,354	0,132	512,68	16,8
25	1,191	0,387	0,154	536,28	20,2

Lado Caliente - Propiedades vapor

Temperatura	Calor específico	Cond.térmica	Viscosidad	Densidad	Peso molec.	Difusividad
С	kcal/(kg*C)	kcal/(h*m*C)	ср	kg/m3		m2/s
145,18	0,583	0,044	0,012	8	17,03	0
40,18	0,5819	0,03	0,009	11,59	17,03	0
40,18	0,5819	0,03	0,009	11,59	17,03	0
40,18	0,5819	0,03	0,009	11,59	17,03	0
40,18	0,5819	0,03	0,009	11,59	17,03	0
40,18	0,5819	0,03	0,009	11,59	17,03	0
40,18	0,5819	0,03	0,009	11,59	17,03	0
40,18	0,5819	0,03	0,009	11,59	17,03	0
40,18	0,5819	0,03	0,009	11,59	17,03	0
40,18	0,5819	0,03	0,009	11,59	17,03	0
40,18	0,5819	0,03	0,009	11,59	17,03	0
40,18	0,5819	0,03	0,009	11,59	17,03	0
40,18	0,5819	0,03	0,009	11,59	17,03	0
40,18	0,5819	0,03	0,009	11,59	17,03	0
40,18	0,5819	0,03	0,009	11,59	17,03	0
40,18	0,5819	0,03	0,009	11,59	17,03	0
40,18	0,5819	0,03	0,009	11,59	17,03	0
40,18	0,5819	0,03	0,009	11,59	17,03	0
40,18	0,5819	0,03	0,009	11,59	17,03	0
40,18	0,5819	0,03	0,009	11,59	17,03	0
40,18	0,5819	0,03	0,009	11,59	17,03	0
40,18	0,5819	0,03	0,009	11,59	17,03	
25	0,5819	0,03	0,009	11,59	17,03	

Lado Caliente - Curva condensación

Temperatura	aCarga térmica (acumulada	Cantidad de vapor		
С	kcal/h	kg/h		
145,18	0	4233		
40,18	256710	4233		
40,18	314396	4021		
40,18	372082	3810		
40,18	429768	3598		
40,18	487455	3386		
40,18	545141	3175		
40,18	602827	2963		
40,18	660513	2752		
40,18	718199	2540		
40,18	775886	2328		
40,18	833572	2117		
40,18	891258	1905		
40,18	948944	1693		
40,18	1006630	1482		
40,18	1064317	1270		
40,18	1122003	1058		
40,18	1179691	847		
40,18	1237377	635		
40,18	1295065	423		
40,18	1352752	212		
40,18	1410439	0		
25	1489127	0		

Hetran 11.1

Página 4

Archivo: condensador.BJT Fecha: 05/09/2007 Tiempo: 9:54:43

Lado Caliente - Nocondensables

Temperatura Calor Cond.térmica Viscosidad Densidad

específico kcal/(kg*C) kcal/(h*m*C)

kg/m3

Lado frío - Componente

С

Componentes Fuente Líquido Vapor Vapor Tipo de entrando entrando saliendo componente

ср

Lado frío - Propiedades líquido

Temperatura	Calor específico	Cond.térmica	Viscosidad	Densidad	Tensión superficia
С	kcal/(kg*C)	kcal/(h*m*C)	ср	kg/m3	dynes/cm
25	1,0765	1,232	1,161	848,24	72,8
30,55	1,0763	1,215	1,084	845,13	71,7
36,09	1,0763	1,198	1,015	841,96	70,6
41,64	1,0765	1,18	0,953	838,73	69,5
47,19	1,077	1,163	0,896	835,43	68,4
52,73	1,0778	1,144	0,844	832,06	67,4
58,27	1,0788	1,126	0,797	828,63	66,3
63,8	1,08	1,108	0,753	825,13	65,2
69,32	1,0815	1,089	0,713	821,56	64,1
74,84	1,0833	1,07	0,676	817,92	63,1
80,35	1,0854	1,052	0,643	814,21	62
85,84	1,0877	1,034	0,611	810,43	61
91,32	1,0903	1,015	0,582	806,57	59,9
96,79	1,0931	0,997	0,555	802,64	58,8
102,25	1,0963	0,979	0,53	798,64	57,8
107,68	1,0997	0,962	0,506	794,56	56,7
113,11	1,1034	0,944	0,485	790,4	55,7
118,51	1,1075	0,927	0,464	786,16	54,6
123,89	1,1118	0,91	0,445	781,84	53,5
129,25	1,1165	0,893	0,427	777,45	52,5
134,58	1,1215	0,877	0,41	772,97	51,4
139,89	1,1269	0,86	0,394	768,4	50,3
145,18	1,1326	0,845	0,379	763,76	49,3

Hetran 11.1

Página 5

Fecha: 05/09/2007 Tiempo: 9:54:44 Archivo: condensador.BJT

Tipo de Intercambiador

Tipo de cabezal frontal program Tipo de carcasa programa Tipo de cabezal atrás programa Posición del intercambiador programa

Tipo de tapa frontal Program Tipo de tapa atrás Program Cubierta soldada a un cilindro programa Cubierta soldada a un cilindro programa programa

Tipo de tapa de carcasa

Tipo de placa de tubos programa Tipo de brida - lado caliente programa Tipo de junta tubos-placa programa Tipo de brida - lado frío programa

Incluir junta de expansión programa

- Tubos

Tipo de tubos Altura de aleta programa mm Diámetro externo de tubos Espesor de aleta mm mm Espesor de la pared de tubos mm Densidad de aleta #/m Especificación de la pared de tubos Superficie por unidad de longitud m

Proporción superficie externa/interna

Material de tubos Tipo de paso programa

Distancia entre tubos mm

Proporción de longitud al ancho para cintas torzidas a 180 grados

Ancho de cinta torzida mm

Final de tubos cortado para condensadores knockback

Haz

Trazado de tubos programa optimiza Espacio entre DI carcasa y tubos

PercShellID Protección de choque programa Distancia

Diámetro del límite externo de tubos arriba, S1 mm mm en el fondo, S2 mm

en los lados, S3 mm

mm

Opciones evaporación tanque

Proveer espacio de desenlace en la carcasa Porcentaje del diámetro de carcasa para desenlace

Tipo de construcción de la entrada de la carpasarama Tipo de construcción de la salida de la carcamagrama

Tolerancias Diamétricas Diseñar trazado de tubos simétrico

DI carcasa a DE deflectores % de desviación máximo en tubos por paso mm

DE deflectores a límite externo de tubos mm Número de tirantes

Hoyo de tubo a DE de tubo mm Número de pares de tiras selladoras Ancho placa de partición Diámetro mínimo para tubos en U

Deflector ·

Orientación de deflectores

Número de soportes intermedios Tipo de deflectores programa entrada

Corte de deflectores (% de diam.)

programa

Número de soportes en la sección U

salida

Hetran 11.1

Página 6

Archivo: condensador.BJT Fecha: 05/09/2007 Tiempo: 9:54:44

355,6	mm	Diámetro externo del kettle	mm
339,75	mm	Diámetro interno del kettle	mm
152,4	mm		
361,95	mm	Diámetro externo anillo de vapor	mm
209,55	mm	Diámetro interno anillo de vapor	mm
25		Longitud del anillo de vapor	mm
4267,2	mm		
142		Espesor del cilindro de carcasa	mm
1		Espesor del cilindro cabezal frontal	mm
1		Espesor de la placa de tubos frontal	mm
1		Espesor de la placa de tubos de atrás	mm
		Espesor deflectores	mm
	339,75 152,4 361,95 209,55 25 4267,2	339,75 mm 152,4 mm 361,95 mm 209,55 mm 25 4267,2 mm	339,75 mm Diámetro interno del kettle 152,4 mm 361,95 mm Diámetro externo anillo de vapor 209,55 mm Diámetro interno anillo de vapor 25 Longitud del anillo de vapor 4267,2 mm 142 Espesor del cilindro de carcasa 1 Espesor del cilindro cabezal frontal 1 Espesor de la placa de tubos de atrás

Boquillas

Diámetro	Cantidad	Orientación	DE Domo
mm			mm

- Boquillas -			
	Lado Caliente	Lado frío	
Clasificación de brida de boquilla	programa	programa	
Tipo de brida de boquilla	programa	programa	
Dirección del fluido para el primer paso de tubos		programa	
Localización de boquilla en tubos-U		Programa	

Límites de diseño —					
	Incremento	Mínimo	Máximo		
Diámetro de carcasa				mm	
Longitud de tubos				mm	
Pasos de tubos	programa				
Espacio entre deflectores				mm	
Usar DI o DE de carcasa o	como referencia	progra	ma	Número de deflectores permitido	programa
Usar tuberia o placa para	carcasa pequeña	s progra	ma	Permitir deflectores debajo de boquillas	programa
Carcasas mínimas en seri	е			Use corte proporcional de deflectores	programa
Carcasas mínimas en para	alelo				
	L	ado Caliente	La	do frío	
Caída de presión admisible	е	kgf/d	cm2	kgf/cm2	
Velocidad mínima del fluid	0	m/s		m/s	
Velocidad máxima del fluid	do	m/s		m/s	
Porcentaje mínimo de exc	eso de superficie				

Hetran 11.1

Página 7

Archivo: condensador.BJT Fecha: 05/09/2007 Tiempo: 9:54:44

Materiales -

Cilindro - lado caliente Cilindro - lado frío Placa de tubos

Placa de tubos doble-central

Deflectores Material de tubos

Conductividad térmica del material de tubos kcal/(h*m*C)

Revestimiento de placa de tubos-lado caliente Revestimiento de placa de tubos-lado frío

Empaques - lado caliente Empaques - lado frío

Especificaciones -

Lado Caliente Lado frío

kgf/cm2 Código de diseño ASME Código Sec VIII Div 1 Presión de diseño Clase de servicio Temperatura de diseño С programa Clase de TEMA kgf/cm2 Presión de diseño al vacío kgf/cm2 Norma de materiales programa Presión de prueba Espesor de corrosión Norma dimensional mm programa

Opciones Análisis Térmicos

Lado Caliente Lado frío

Coeficiente térmico kcal/(h*m2*C)

Multiplicante para el coeficiente térmico Multiplicante de la caída de presión

Porcentaje del area en U usado para intercambio de calor

Comprobación máxima para termosifones programa

Diferencia de temperatura promedio C
Diferencia de temperatura mínima C

Factor de corrección de temp.mínimo permisible

Flujo de calor máximo kcal/(h*m2)

Dirección del fluido para el primer paso de tubos programa

Calcular zona desobrecalentamiento Program

Correlación de condensación programa

Suprimir coeficiente de ebullición nucleado

Diferencia de temperatura mínima para ebullición nucleada C

Correlación de caída de presión lado tubos para dos-fases programa

Tolerancia de convergencia del area en modo de simulación

Número de intervalos

Tipo de cálculo de intervalos programa

Hetran 11.1

Página 8

Archivo: condensador.BJT

Fecha: 05/09/2007

Tiempo: 9:54:44

Change Codes

Hetran 11.1

Página 9

Archivo: condensador.BJT Fecha: 05/09/2007 Tiempo: 9:54:44

Paso de Optimización

	Carcasa	Longitud	d tubos	Caida de	Presión	Deflect	or	Tul	00	Unic	lades	Total
	Tamaño	Actual	Req.	Carcasa	Tubo	Espacio	No.	Paso	No	Р	S	Precio
	mm	mm	mm	kgf/cm2	kgf/cm2	mm						Dollar(US)
1	355,6	6096	4189,9	0,141*	0,209	152,4	37	1	142	1	1	11310
2	355,6	5486,4	4189,7	0,141	0,191	152,4	33	1	142	1	1	10900
3	355,6	4876,8	4188,7	0,14	0,173	152,4	29	1	142	1	1	10480
4	355,6	4267,2	4186,4	0,139	0,154	152,4	25	1	142	1	1	10070

Detalles térmicos - General

		Lado Carcasa		Lado ⁻	Tubos	
Gases(Ent/Sal)	kg/h	4233				
Líquidos (Ent/Sal)	kg/h		4233	178147	178147	
Temperatura (Ent/Sal)	С	145,18	40,17	25	32,36	
Punto de Cond. or Evaporación	С	40,18	40,18			
Coeficiente película kcal/(Coeficiente película kcal/(h*m2*C)		7818,3		9945,2	
Resistencia de ensuciamiento m2*	h*C/kcal					
Velocidad	m/s	7,	18	2,	11	
Caída de Presión (Perm/Calc)	kgf/cm2	0,141/	0,139	0,703 / 0,154		
Calor total intercambiado	kcal/h	141046	9 Tipo BE	M hor	1 ser 1 par	
Coeficiente global-en sucio kcal/(h*m2*C)	3327,	6 Dim.Carca	sa330,2-426	67,2 mm	
Area efectiva	m2	35,	9 No.Tubos-	DE 142	_19,05 mm	
MTD corregido	С	12,0	2 Deflector S	Simple	43 % vert	
Factor de corrección del MTD			1 Pasos tubo	os 1		

Detalles térmicos - Resistencias térmicas

		Limpio	Ensuc.espec. E	nsuciamiento Max.
Area requerida	m2	35,3	35,3	35,9
Exceso de superficie	%	1,95	1,95	
Coeficiente global	kcal/(h*m2*C)	3327,6	3327,6	3264
Resistencia global	m2*h*C/kcal	0,0003	0,0003	0,00031
Ensuciamiento carcasa	m2*h*C/kcal	0.0		
Ensuciamiento lado tubos		0.0		
Distribución global de resis	tencia			
Película carcasa	%	42,56	42,56	41,75
Ensuciamiento carcasa	%	0.0		
Pared tubo 0,00005	%	16,96	16,96	16,64
Ensuciamiento tubos	%	0.0		
Película tubos	%	40,48	40,48	39,7

Hetran 11.1

Página 11

Archivo: condensador.BJT

Fecha: 05/09/2007

Tiempo: 9:54:44

Detalles térmicos - Coeficientes

		Lado Carcasa	Lado Tubos
Coeficientes de pel.	kcal/(h*m2*C)		
Calculado por programa		7818,3	9945,2
Especificado por usuario			
Multiplicante especificado por usua	ario	1	1
Usado en diseño		7818,3	9945,2
Coeficiente desobrecalentado		687,2	
Coeficiente condensación		8511,4	
Coeficiente vapor sensible			
Coeficiente sensible-líquido			9945,2
Coeficiente ebullición			
Coeficiente enfriante-líquido		2053	
Número Reynolds		3671,28	25375,17
Factor eficiencia aleta		1	
Temperatura promedio de metal	С	42,39	36,35

Detalles térmicos - MTD and Flux

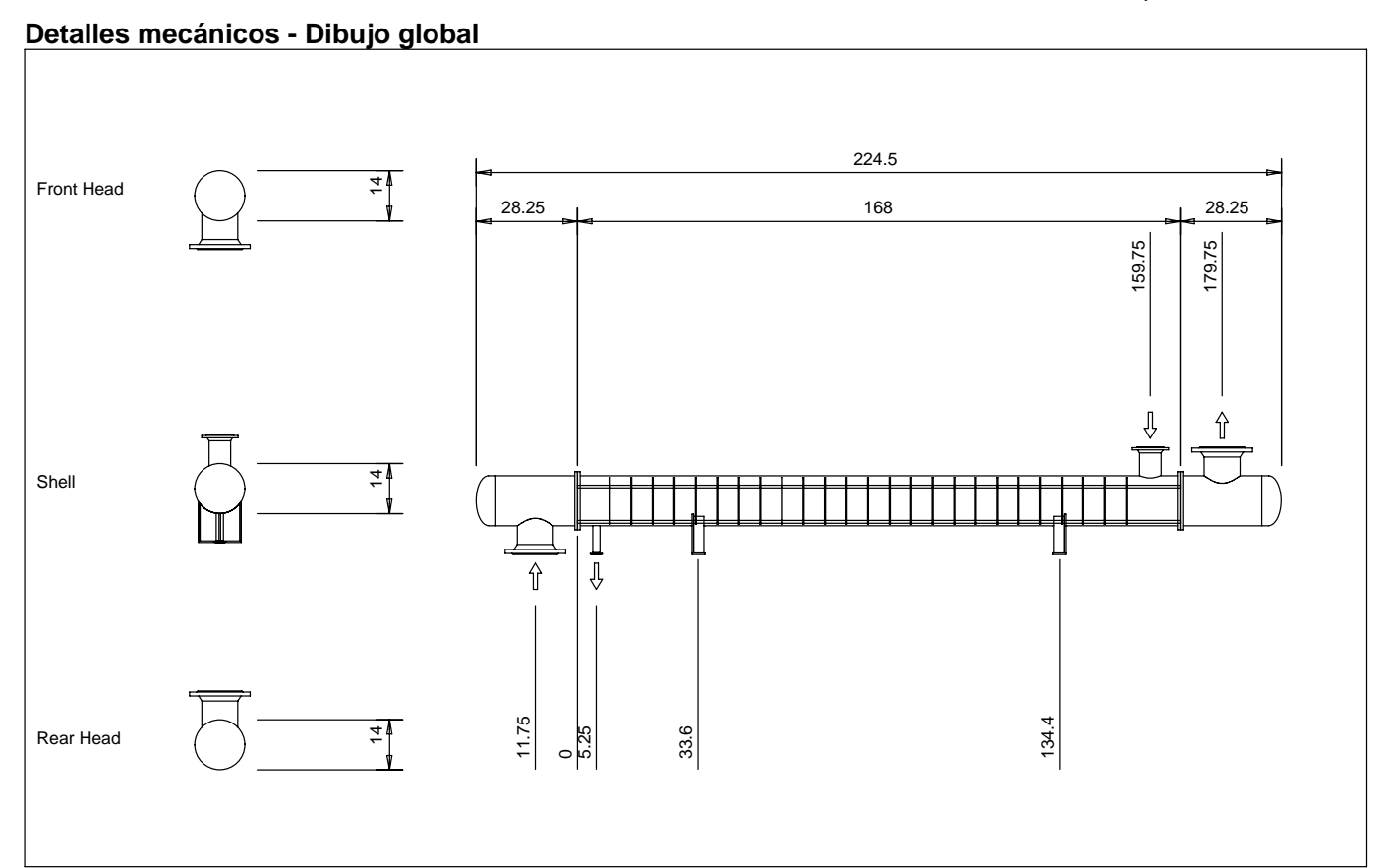
Diff.Temp. promedio	С	Flujo	kcal/(h*m2)
MTD corregido usado en diseño	12,02	Flujo actual	39245
LMTD		Fluido evaporante	
Factor de corrección del MTD	1	Flujo máximo nucleado	
Factor eficiencia Defl.Long.		Flujo máximo del programa	
MTD calculado-corregido	12,02	Flujo máximo especificado	
MTD corregido especificado por usuario	0	Flujo máximo controlante	
Dirección del fluido Cour	ntercurrent		

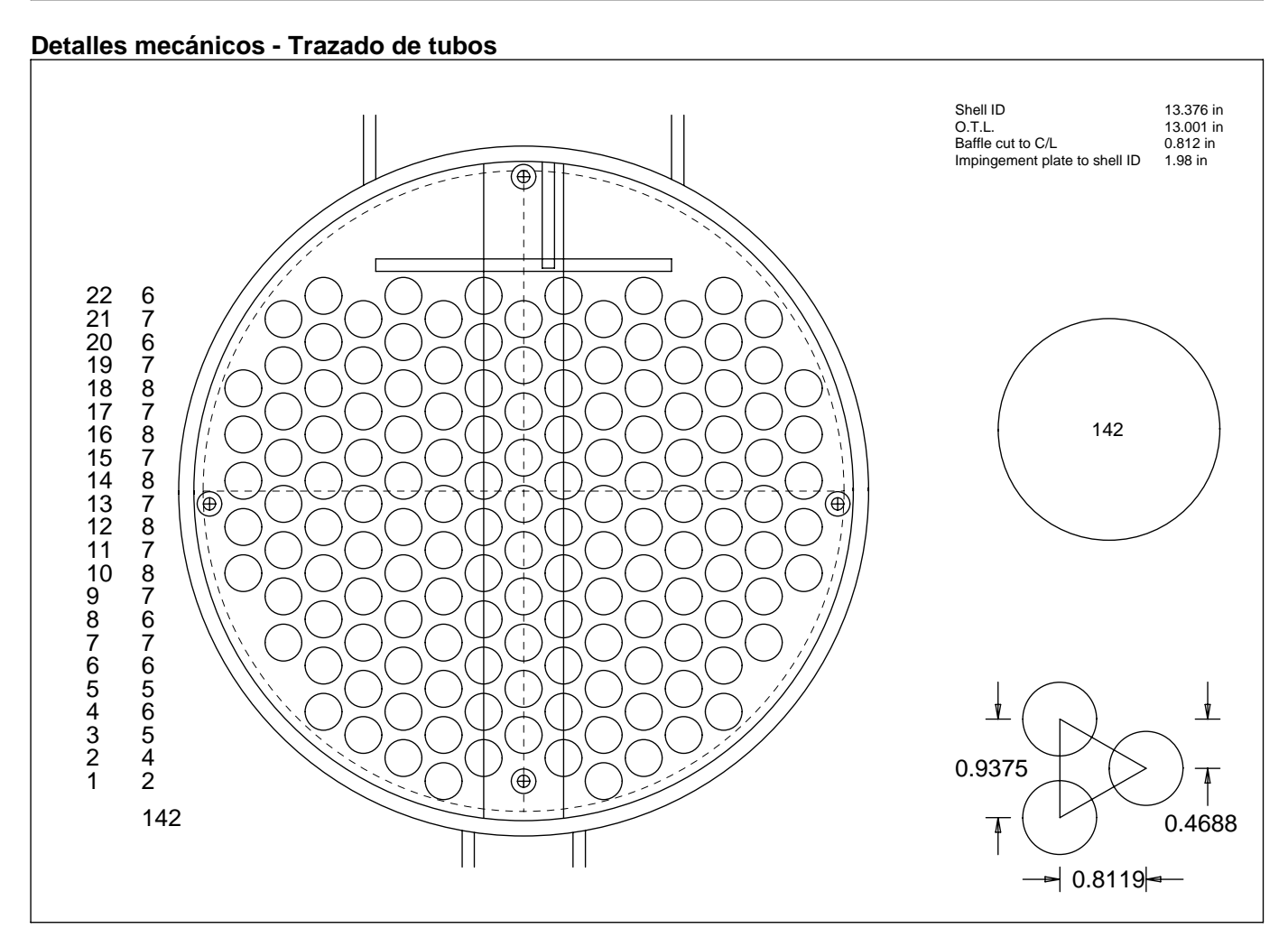
Detalles térmicos - Caida de Presión

	Lado (Carcasa	Lado Tubos		
Caida de Presión kgf/d	cm2				
Permitido	0,	141	0,7	703	
Calculado, limpio	0,	139	0,	154	
Calculado, sucio	0,	139	0,	154	
Multiplicante de Haz especificado)	1		1	
Distribución de velocidad y caída de	presión m/s	%dp	m/s	%dp	
Boquilla entrada	8,06	2,86	1,15	1,85	
Entrando en Haz	4,45	0,85	2,11	6,23	
Flujo cruzado	7,18	79,48			
A través de ventana/defl.	5,41	15,61			
A través de tubos			2,11	83,79	
Saliendo del Haz	0,21		2,12	6,26	
Boquilla salida	1,13	1,2	1,16	1,86	

Detalles térmicos - Análisis caudal lado carcasa

Análisis caudal lado carcasa	Fracción flujo %	Tolerancias Diamétricas mm
Flujo cruzado	56,73	
Tolerancia: hoyo defl-d.e. tubos	13,7	0,79
Toleancia: di carcasa-de defl.	14,99	3,18
Toleancia: di carcasa-otl haz.	14,58	9,52
Rho*v2 análisis	Rho*v2 kg/(m*s2)	Límite TEMA kg/(m*s2)
Boquilla entrada	520	2232
Entrada carcasa	231	5953
Entrada haz	158	5953
Salida haz	23	5953
Salida carcasa	173	5953





Detalles mecánicos - Carcasa

Tipo TEMA: BEM		Carcasa	Cabezal frente
Diámetro externo cilindro	mm	355,6	355,6
Diámetro interno cilindro	mm	339,75	339,75
Diámetro externo Kettle	mm		
Diámetro externo anillo vapor	mm		
Longitud anillo vapor	mm		
Boquilas-diámetro ext. nomina	l	Lado Carcasa	Lado Tubos
Boquilla entrada	mm	152,4 / 1	254 / 1
Boquilla salida	mm	50,8 / 1	254/1
Drenaje	mm	/ 1	/
Domo entrada	mm		
Anillo distribución	mm		
Arreglo carcasas: 1	Conectado	en 1 paralelo	1 series
Total price	Dollar(US)	10070	

Detalles mecánicos - Haz

Tipo deflector		Simple	Toleancia: di carcasa-otl haz.	mm	9,52
Espacio entrada	mm	361,95	Tolerancia: hoyo defl-d.e. tubos	mm	0,79
Espacio c-c	mm	152,4	Toleancia: di carcasa-de defl.	mm	3,18
Espacio salida	mm	209,55	Tolerancia: d.e. defl-otl haz	mm	6,35
Num de Defl.		25			
Soportes			Protección de choque	placa	sobre el haz
Corte Defl.		43% vert	Tiras sellantes (par)		
Corte externo segmentado	o múltiple	%	Límite ext. tubos	mm	330,23
Corte interno segmentado	múltiple	%	Distancia abierta arriba	mm	59,82
Espesor deflector	mm	3,18	Distancia abierta abajo	mm	10,84

Hetran 11.1

Página 15

Archivo: condensador.BJT

Fecha: 05/09/2007

Tiempo: 9:54:45

Detalles mecánicos - Tubos

Longitud de tubo	mm	4267,2	d.e. tubo	mm	19,05
Número de tubos		142	Espesor tubo	mm	1,65
Longitud entre tubos	mm	23,81	Especificación pared t	ubo	Media
Trazado de tubos		30	Tipo de tubo		
Pasos tubos		1	Altura de aleta	mm	
Trazado de tubos		en cinta	Espesor de aleta	mm	
Espesor tubos (est.)	mm	19,05	Densidad de aleta	#/m	
Junta tubos-placa	ranur	a/Expander	Area Ao/Ai		1,21
Espacio partición	mm		Cinta torsida ancho de	inse mo	
Desviación tubos/pasos		%	Proporción de torsión		

Detalles mecánicos - Análisis de vibración

Para líquidos	+ gases	i	Entrada	Haz	Salida	Vuelta-U
Indicación de vibración			No	No	No	No
Espacio de tubo sin soporte)	mm	514,35	304,8	361,95	
Velocidad flujo cruzado	٧	m/s	4,45	7,18	0,21	
Velocidad crítica	VC	m/s	41,04	85,59	12,52	
Velocidad crítica/de cruze Vibración indicada	v/vc a si > 1.0	0	0,11	0,08	0,02	
Frecuencia natural de tubo	fn	Hz	259,5	474,9	463,5	
Amplitud vortex shedding Límite de amplitud de vorte	x shed ð	mm i,668				
Amplitud turbulenta de buffeting mm Límite de amplitud turbulenta de b 0ft			0	0	0	

Detalles mecánicos - Análisis de Acústica

Para gases solam		Entrada	Haz	Salida	Vuelta-U	
Frecuencia natural/Acústica	No	No	No	No		
Espacio de tubo sin soporte	ļ	mm	514,35	304,8	361,95	
Velocidad flujo cruzado	V	m/s	4,45	7,18	0,21	
Frecuencia acústica carcasa	fa	Hz	506,8	506,8		
Frecuencia vortex shed.	fs	Hz	52,3	84,3	2,5	
Frecuencia turbulenta buff.	ftb	Hz	69,4	111,9		
Proporción "a"	fa/fs		9,69	6,01		
	fa/ftb		7,31	4,53		
Resonancia indicada	si 0.8-1.	2				
Velocidad condición "b"		m/s	11,25	11,25		
Resonancia indicada si v	> velocio	dad 'b'				
Velocidad condición "c"		m/s	43,12	43,12		
Condición "c"		111/3	56767	91574		
Resonancia indicada si v : y condición 'c' > 2		lad 'c'				

Hetran 11.1

Página 18

Archivo: condensador.BJT Fecha: 05/09/2007 Tiempo: 9:54:46

Resúmen de Diseños

		Α
Shell size	mm	355,6
Tube length - actual	mm	4267,2
Tube length - required	mm	4186,4
Pressure drop, SS	kgf/cm2	0,139
Pressure drop, TS	kgf/cm2	0,154
Baffle spacing	mm	152,4
Number of baffles		25
Tube passes		1
Tube number		142
Number of units in series		1
Number of units in parallel		1
Total price	Dollar(US)	10070
RhoV2 problem		no
Vibration problem		no

Detalle de cálculos - Lado Carcasa - Propiedades líquido

Tempe	ratura —	Densidad	Específic	o Térmico [–]	Visce	osidad —	Superficie	Latent
masa	Pared		Calor específic	conductividad o	Masa	Pared	Tensión superficial	Calor
С	С	kg/m3	kcal/(kg*0	C) kcal/(h*m*C)	ср	ср	dynes/cm	kcal/kg
127,56	41,85	450,77	1,4693	0,274	0,083	0,129	8,6	136,28
40,18	37,33	512,68	1,2621	0,354	0,132	0,136	16,8	272,56
40,18	36,99	512,68	1,2621	0,354	0,132	0,136	16,8	272,56
40,18	36,68	512,69	1,2621	0,354	0,132	0,137	16,8	272,56
40,18	36,32	512,69	1,2621	0,354	0,132	0,137	16,8	272,56
40,18	35,89	512,69	1,2621	0,354	0,132	0,138	16,8	272,56
40,18	35,33	512,69	1,2621	0,354	0,132	0,139	16,8	272,56
40,18	34,49	512,69	1,2621	0,354	0,132	0,14	16,8	272,56
40,18	33,53	512,69	1,2621	0,354	0,132	0,141	16,8	272,56
40,18	32,91	512,69	1,2621	0,354	0,132	0,142	16,8	272,57
40,18	32,58	512,68	1,2621	0,354	0,132	0,142	16,8	272,57

Detalle de cálculos - Lado Carcasa - Propiedades vapor

— Temp. —		Densidad	Específico	Térmico	- Visco	sidad —
masa	Pared	C	Calor específico	conductividad	Masa	Pared
С	С	kg/m3	kcal/(kg*C)	kcal/(h*m*C)	ср	ср
127,56	41,85	9,79	0,5824	0,037	0,011	0,009
40,18	37,33	11,59	0,5819	0,03	0,009	0,009
40,18	36,99	11,59	0,5819	0,03	0,009	0,009
40,18	36,68	11,59	0,5819	0,03	0,009	0,009
40,18	36,32	11,59	0,5819	0,03	0,009	0,009
40,18	35,89	11,59	0,5819	0,03	0,009	0,009
40,18	35,33	11,59	0,5819	0,03	0,009	0,009
40,18	34,49	11,59	0,5819	0,03	0,009	0,009
40,18	33,53	11,59	0,5819	0,03	0,009	0,009
40,18	32,91	11,59	0,5819	0,03	0,009	0,009
40,18	32,58	11,59	0,5819	0,03	0,009	0,009

Fecha: 05/09/2007 Tiempo: 9:54:46 Archivo: condensador.BJT

Detalle de cálculos - Lado Carcasa - Carga térmica

			•			
Temp.	—— Caudal ——		Sensil	ole heat	Masa	Total
	Vapor	Líquido	Vapor	Líquido	transferencia	Carga
С	kg/h	kg/h	kcal/h	kcal/h	kcal/h	kcal/h
145,18	4233					
40,18	4233		256710			256710
40,18	3763	470	256721		128181	384902
40,18	3292	941	256721		256373	513094
40,18	2822	1411	256721		384565	641286
40,18	2352	1881	256721		512758	769478
40,18	1881	2352	256721		640950	897670
40,18	1411	2822	256721		769142	1025862
40,18	941	3292	256721		897334	1154055
40,18	470	3763	256721		1025526	1282247
40,18		4233	256720	-23	1153741	1410439
40,17		4233	256720	12	1153741	1410474

Detalle de cálculos - Lado Carcasa - Cumplimiento

	Temp.vapor	Peso Vap %	Carga Térmica	Coef.global	Area reque.	Dif. Temp	Caída presión
	С		%	kcal/(h*m2*C)	%	С	%
Entrada	145,18	100					3,71
desup seco	109,93	100	6,11	614,4	4,22	94,36	0,63
desup mojado	40,18	100	12,09	3850,4	14,42	8,71	15,59
	40,18	88,89	9,09	3850,5	9,95	9,49	15,25
	40,18	77,78	9,09	3798,5	9,42	10,16	14,01
	40,18	66,67	9,09	3728,1	9,01	10,83	12,52
	40,18	55,56	9,09	3635,5	8,7	11,5	10,96
	40,18	44,45	9,09	3484,7	8,58	12,16	7,91
	40,18	33,33	9,09	3224,9	8,79	12,83	6,94
	40,18	22,22	9,09	2941,1	9,16	13,5	5,75
	40,18	11,11	9,09	2822,6	9,09	14,17	3,97
	40,18		9,09	2827,1	8,67	14,84	1,54
Enfriando Iíquido	40,17		0	1515,8	0	15,86	0
exceso de area							0,02
Salida	40,17						1,2

Detalle de cálculos - Lado Carcasa - Coeficientes

Temp.	Vapor	Condensando ⁻	Coeficiente condensación puro			Gas seco	Película
masa	Peso %	régimen	cortante	gravedad	resultante	coef.	coef
С			kcal/(h*m2*C)	kcal/(h*m2*C)	kcal/(h*m2*C)	kcal/(h*m2*C)	kcal/(h*m2*C)
40,18	95,22	Cortante	11486,9	6227,2	11486,9	596,5	11481,6
40,18	84,11	Cortante	11031,7	5751,3	11031,7	560,2	11031,7
40,18	73	Cortante	10458	5566,3	10458	519,7	10458
40,18	61,89	Cortante	9760,3	5486,6	9760,3	475,5	9760,3
40,18	50,78	Cortante-graveda	d 8927,5	5458,2	8744,6	427	8744,6
40,18	39,67	Cortante-graveda	d 7929,6	5458,5	7273,9	373,2	7273,9
40,18	28,56	Cortante-graveda	d 6699,5	5476,1	5973,8	312,3	5973,8
40,18	17,45	Gravedad	5062,4	5504,6	5504,6	239,9	5504,6
40,18	6,33	Gravedad	3918,4	5521,7	5521,7	143	5521,7

Detalle de cálculos - Lado Tubos - Propiedades líquido

Temperatura —		Densidad	Específico	Térmico -	- Visc	osidad
masa	Pared		Calor c específico	onductividad	Masa	Pared
С	С	kg/m3	kcal/(kg*C)	kcal/(h*m*C)	ср	ср
25,33	31,39	848,05	1,0765	1,231	1,156	1,073
26	31,78	847,68	1,0765	1,229	1,146	1,068
26,67	32,17	847,3	1,0764	1,227	1,137	1,063
27,34	32,56	846,93	1,0764	1,225	1,128	1,058
28,01	32,95	846,55	1,0764	1,223	1,118	1,054
28,68	33,34	846,18	1,0764	1,221	1,109	1,049
29,35	33,74	845,8	1,0763	1,219	1,1	1,044
30,02	34,13	845,43	1,0763	1,217	1,091	1,039
30,68	34,55	845,05	1,0763	1,215	1,083	1,034
31,35	45,45	844,67	1,0763	1,213	1,074	0,913
32,02	66,34	844,29	1,0763	1,211	1,065	0,734

Detalle de cálculos - Lado Tubos - Carga térmica

Temp.	Caudal Líguido	Sensible heat Líquido	Total Carga	
С	kg/h	kcal/h	kcal/h	
25	178147			
25,67	178147	128238	128238	
26,34	178147	256472	256472	
27,01	178147	384703	384703	
27,67	178147	512929	512929	
28,34	178147	641152	641152	
29,01	178147	769371	769371	
29,68	178147	897587	897587	
30,35	178147	1025799	1025799	
31,02	178147	1154009	1154009	
31,69	178147	1282219	1282219	
32,36	178147	1410428	1410428	

Detalle de cálculos - Lado Tubos - Cumplimiento

	Temperatura	Carga Térmica	Coef.global	Area reque.	Dif. Temp	Caída presión
	С	%	kcal/(h*m2*C)	%	С	%
Entrada	25					8,08
	25,67	9,09	3308,8	9,14	12,02	7,6
	26,34	9,09	3311,4	9,14	12,02	7,58
	27,01	9,09	3314	9,13	12,02	7,57
	27,67	9,09	3316,6	9,12	12,02	7,55
	28,34	9,09	3319,2	9,11	12,02	7,54
	29,01	9,09	3321,7	9,11	12,02	7,53
	29,68	9,09	3324,3	9,1	12,02	7,51
	30,35	9,09	3326,8	9,09	12,02	7,5
	31,02	9,09	3329,3	9,09	12,02	7,48
	31,69	9,09	3349,5	9,03	12,02	7,31
	32,36	9,09	3383,3	8,94	12,02	7,01
exceso de area						1,6
Salida	32,36					8,12

Detalle de cálculos - Lado Tubos - Coeficientes

Temp.			Flujo	Velocidad		Coeficientes -	
masa	Pr	Re	régimen		libre	Forzado	actual
С				m/s	kcal/(h*m2*C)	kcal/(h*m2*C)	kcal/(h*m2*C)
25,33	3,65	24347,81	Turbulento	2,11		9807,3	9807,3
26	3,62	24551,71	Turbulento	2,11		9826,4	9826,4
26,67	3,6	24756,4	Turbulento	2,11		9845,4	9845,4
27,34	3,57	24961,88	Turbulento	2,11		9864,4	9864,4
28,01	3,55	25168,13	Turbulento	2,11		9883,3	9883,3
28,68	3,53	25375,17	Turbulento	2,11		9902	9902
29,35	3,5	25582,98	Turbulento	2,12		9920,7	9920,7
30,02	3,48	25791,56	Turbulento	2,12		9939,3	9939,3
30,68	3,46	26001,01	Turbulento	2,12		9958,1	9958,1
31,35	3,44	26211,37	Turbulento	2,12		10108,5	10108,5
32,02	3,42	26422,52	Turbulento	2,12		10367,1	10367,1